

Net

1962

Nd(I)

Klinkenberg P.F.A.

1946

Physica 12, 33 (1946).

$5I_4$ ,  $4f^4 6s^2$  - кинематическое  
излучение в Терел.

Ncl<sup>1</sup>

Schuermann Ph.  
Physica 11f, 419 (1946)

1946

Это указание  
снимка со страницы Ncl<sup>1</sup> Германия.

на 4f 4652

VIII 3120

1948

Zr, Ce, Nd, Pr, Sm (J)

Душанберский К.Б.

Изб. АН СССР. Орг. хим. №,

1948, 554-555

40; B

ЕОТЬ Ф. Н

СА, 1949, 1254

VIII 1910

1953

Ce, CeCl<sub>3</sub>, Nd, NdCl<sub>3</sub> (sH)

Miller C.F.,

Iowa State Coll. J. Sci.,

1953, 27, n2, 218-219

M

Reex, 1954, n8, 23219A

$Nd^{3+}$

Dieke G.H., Heroux L. 1955,  
Atomic Energy Commission  
Report, NYO-3977 (1955)

Спектр опоречивые спектры  
поглощенные  $Nd^{3+}$  в  
искусственном изотопе  
при температуре низ-  
кого атома. Там, где не изу-  
чено, не изу-  
чено сообщено. Измеряли  
спектр. Данные.

$Nd^{3+}$

Carlson E. Dieke G. H. 1958

J. Cl. Physic 29, 229(1958)

Давление переноса тепла  
и упругости сплава  $Nd^{3+}$

$$\frac{4}{1} g_k = 0$$

$$4T_{1/2} \approx 1900 - 2000 \text{ cm}^{-1}$$

$$4T_{15/2} \approx 3900 - 4000 \text{ cm}^{-1}$$

Nd/3+

meopern.

Judd B.R.

1959

Proc. Roy. Soc. A 281, 134

47, T.W.F.

(1959)

Анализ синхронизировано  
рассеивающие Nd Clz.

Двигательно раздирается  
шероховатости пакет  
уровней.

Внешнее раздирание

име 3x уровней:

$^4I_{9/2}$ ;  $^4I_{11/2}$ ;  $^4I_{13/2}$

сигр 124

бесцветное сине-зеленое  
поглощение поглощает

$f^3$  конфигурации.

VIII 2885

1959

Zr, Ce, Pr, Nd, Pu, Sm, Eu, Gd, Tb, Dy, Ho,  
Er, Tm, Yb, Y<sub>u</sub>, Y  
(?)

Illyr T.E.,

Ontrika u snejkoroskomu,  
1959, 6, 433-437

10

PNEK, 1959, №23, 80932

Белых М.С. Ерусалимъ и.и) №<sup>135</sup>

No.

ФАНСЕС, 133, 335, 1960.

Дендрометрическое исследование  
деревьев в лесу.

№1-

награда  
исследование

Pr

1Б50. Определение первых потенциалов ионизации атомов неодима и празеодима методом поверхностной ионизации. Ионов И. И., Митцев М. А. «Ж. эксперим. и теор. физ.», 1960, 38, № 4, 1350—1351.—Для определения потенциалов ионизации атомов Nd и Pr применен метод поверхностной ионизации. В качестве элемента сравнения использован In. Для получения и измерения токов сравниваемых элементов пучки атомов, создаваемые испарением металлического Nd, Pr и In в спец. испарителях, направлялись на нагретую W-нить. Ионизационные потенциалы Nd и Pr без учета возможных близких к основному возбужденных состояний (данные, позволяющие производить такой учет, для Nd и Pr отсутствуют) равны:  $V(Pr) = 5,48 \pm 0,01$  эв;  $V(Nd) = 5,51 \pm 0,02$  эв. Величина поправок при учете возбужденных состояний может составить несколько сотых эв (для La поправка равна 0,04 эв). Полученные результаты можно рассматривать как эксперим. подтверждение применимости теории к поверхностной ионизации атомов Nd, Pr и In на раскаленном W. Ю. К.

1960

запись

1/11

2 зуф

20.1961.1

1960

VIII-2480

Nd

1B30. Определение первых потенциалов ионизации атомов неодима и празеодима методом поверхностной

ионизации. Ионов Н.И., Митцев М.А. «Ж. эксперим. и теор. физ.», 1960, 38, № 4, 1350—1351.— Экспериментально исследована зависимость логарифма ионной силы тока от т-ры поверхности для атомов Nd и Pr. В качестве элемента сравнения был использован Ип. Значения ионизационных потенциалов вычислены без учета возможных близких к основному возбужденных состояний атомов и ионов и равны  $V_{Pr} = 5,48 \pm 0,01$  эв,  $V_{Nd} = 5,51 \pm 0,02$  эв.

С. Ветчинкин

227-3.

90-1961-1

Nd

Ei

ammonia  
rock

anniversay - 133D.

1960.

Moore Cl. E.

"7: Opt. Soc Am

1960, 50, 407-408

$\text{Nd}^{3+}$

Wybawene B.C.

1960

$f^3$

J. Ch. Phys., 1960, 32,  
639

Cit. Er  $\text{O}^{3+}$  Analysis of the solid-  
state species of trivalent  
 $\text{Nd}$  and  $\text{Sr}$ .

$Nd^{3+}$

~~Cowan~~ Carlson E.H. 1961/2  
Dieke G.H.

J. Chi. Phys. 34, 1602 (1961)

Соединение  $Nd^{3+}$  ионов  
установлено в  
адсорбционном слое  
и синтезе при нагреве  
чешуи  $CaNdCl_3$  и  
их же синтак дозрев.

авт. кир об.

дана географическая классификация различных уровней  
изоглин. Обсуждаются  
кристаллическое расчленение Шварца, изоли-  
рующее свойства и  
передавшиеся и срав-  
нивается с выделяемым  
зональным, поясенным  
~~и~~<sup>и</sup> через ~~и~~<sup>и</sup> предыдущим <sup>и</sup>  
предыдущим <sup>4f3</sup>  
<sup>контактный район.</sup>

Nat  
SmI.

Todd B.R. Lindgren I. 1961  
Phys. Rev. 122, 1802 (1963)

Его дальнейш об  
мерших основного  
действия зерн  
атомов.

Статья обсуждается.  
Возможное предание  
от RS change K ам. на об.

Nd I $\xi = 770 \text{ cm}^{-1}$			Sm I $\xi = 1061 \text{ cm}^{-1}$		
excited es.			excited es.		
5I <sub>8</sub>	5005	5051	5049	<sup>7</sup> F <sub>6</sub>	3714
5I <sub>7</sub>	3465	3676	3682	<sup>7</sup> F <sub>5</sub>	2652
5I <sub>6</sub>	2117	2343	2367	<sup>7</sup> F <sub>4</sub>	1768
5I <sub>5</sub>	962	1102	1128	<sup>7</sup> F <sub>3</sub>	1061
5I <sub>4</sub>	0	0	0	<sup>7</sup> F <sub>2</sub>	530
				<sup>7</sup> F <sub>1</sub>	177
				<sup>7</sup> F <sub>0</sub>	0
					280
					293
					0
					0

N'd

B.P. - 2339 - VIII 1969.

Smith R. F.  
Spalding J. Z.

Am. nat. Proc. Roy. Soc. A

1969, 265 N 1320

133 - 140

$\text{Nd}^{3+}$

Wang E. Y.

1961

J. Chem. Phys., 1961, 35, 594.

$\text{Cu}(\text{P}^{\text{3+}})$

Nd<sup>3+</sup>.

Weng E.Y

1.1

~~Quoted~~

J. Cli. Ph. 34, 1989 (1989)

Анализ спектра абсорбции и спектра эмиссии спеченных NdCl<sub>3</sub> пайдаситов.

Вариации по расстоянию (Stark) уровня Nd<sup>3+</sup> в LaCe<sub>3</sub>. Использова-

ное основное значение  
и характером. Важнейшее  
изменение кристаллических, предста-  
вленное Yaddoni.

1962

$Nd^{+3}$   
спектр

У 13 Б102. Ультрафиолетовые спектры поглощения и высшие возбужденные состояния  $Nd^{3+}$  в  $LaCl_3$  при  $77^{\circ}K$ . Agrawal R. M., Asundi R. K., Naik R. C., Ramakrishnan D., Singh Shobha. Ultraviolet absorption spectra and higher excited states of  $Nd^{3+}$  in  $LaCl_3$  at  $77^{\circ}K$ . «Proc. Indian Acad. Sci.», 1962, A55, № 5, 325—329 (англ.)

Спектры поглощения  $LaCl_3-Nd^{3+}$  (5 %) исследованы при  $77^{\circ}K$  в поляризованном свете с помощью спектрографа с дисперсией  $2,5 \text{ \AA/mm}$  в интервале  $30\,000 - 40\,000 \text{ см}^{-1}$ , где расположены группы линий:  $N$ ,  $O$ ,  $P$ ,  $Q$ ,  $T$ , соответствующие переходам из основного состояния ( ${}^4I_{9/2}$ ) в состояния:  ${}^2H_{9/2}$ ,  ${}^2D_{3/2}$ ,  ${}^2H_{11/2}$  и  ${}^2D_{5/2}$ ,  ${}^2F_{5/2}$  и  ${}^2F_{7/2}$ . Для перехода  ${}^4I_{9/2} - {}^2D_{3/2}$  (группа  $O$ ) определены значения кристаллич. квантовых чисел комбинирующих уровней.

П. Феофилов

Х. 1964. 13

1962

Nd

Arajs S., Colvin R.V.

J. Less-Common Metals, 1962, 4, n° 2, 159

Анализ данных по теплоемкости для  
церия, неодима и самария при высоких  
температурах

1962

A-364

$\text{La}^{3+}$ ,  $\text{Ce}^{3+}$ ,  $\text{Pr}^{3+}$ ,  $\text{Nd}^{3+}$ ,  $\text{Sm}^{3+}$ ,  $\text{Eu}^{3+}$ ,  $\text{Gd}^{3+}$ ,  $\text{Tb}^{3+}$ ,  $\text{Dy}^{3+}$ ,  
 $\text{Ho}^{3+}$ ,  $\text{Er}^{3+}$ ,  $\text{Tm}^{3+}$ ,  $\text{Yb}^{3+}$ ,  $\text{Lu}^{3+}$ ,  $\text{Y}^{3+}$ ,  $\text{Cu}^{2+}$ ,  $\text{Zn}^{2+}$ ,  $\text{Cd}^{2+}$ ,  $\text{Pb}^{2+}$

- austarasic' kamekiesi

Kolat R.S., Powell J.E.,

Inorganic Chemistry,

1962, 1, n2, 293 - 296

10

Préc. 1963, A5B92

lets open

1962

Nd<sup>+3</sup>

checkup

8045

ABSORPTION SPECTRUM OF Nd<sup>3+</sup> IN LaBr<sub>3</sub>.

Isaac Richman and Eugene Y. Wong (Univ. of California, Los Angeles). J. Chem. Phys., 37: 2270-2(Nov. 15, 1962).

The absorption spectrum of 0.5 mole % Nd<sup>3+</sup> in a LaBr<sub>3</sub> single crystal was obtained and most of the crystalline field Stark levels identified. The spectrum is very similar to that obtained from Nd<sup>3+</sup> in LaCl<sub>3</sub> and, in fact, the crystalline field parameters that fit LaCl<sub>3</sub> to 5 cm<sup>-1</sup> fit LaBr<sub>3</sub> to 7 cm<sup>-1</sup>. The major difference in the two spectra is a general shift of levels to the red in the LaBr<sub>3</sub>. This is similar to the spectra of Pr<sup>3+</sup> in LaBr<sup>3</sup> and LaCl<sup>3</sup>. The explanation for this shift in both Pr<sup>3+</sup> and Nd<sup>3+</sup> spectra is probably the same. (auth)

NJA-1963-17-6

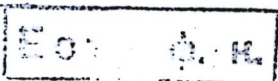
VIII 1316

Pr, Nd, Pu, Sm, Eu, Tb, Dy, Ho,  
Er ( $T_e$ )

Conway J G, Wybourne B G,  
Phys. Rev., 1963, 130, n6, 2325-2332

10

Philip, 1964, 60 69



1963

B9- VIII 1376

 $\text{Nd}^{3+}$ ,  $\text{Pr}^{2+}$ ,  $\text{Ce}^+$ ,  $\text{La}$  ( $\text{Te}$ )

 $\text{Te} (\text{Ce}^{3+}, \text{Pr}^{3+}, \text{Nd}^{3+}, \text{Pm}^{3+}, \text{Sm}^{3+}, \text{Eu}^{3+}, \text{Gd}^{3+}, \text{Tb}^{3+}, \text{Dy}^{3+},$   
 $\text{Ho}^{3+}, \text{Er}^{3+}, \text{Tm}^{3+}, \text{Yb}^{3+}, \text{Er}^{3+})$ 

Dieke G.H., Crosswhite H.M.;

Appl. Optics, 1963, 2; n7, 675-686

10

P200P, 1964, 39253

лens оптическ

$Nd^{5+}$

1963

спектр

5 Б50. Спектр  $Nd^{3+}$  в  $LaCl_3$ . Eisenstein J. C.  
Spectrum of  $Nd^{3+}$  in  $LaCl_3$ . «J. Chem. Phys.», 1963, 39,  
№ 9, 2134—2140 (англ.)

Приводятся результаты точных вычислений энергетич. уровней иона  $Nd^{3+}$  в решетке  $LaCl_3$ . Матричные элементы взаимодействий: кулоновского, спин-орбитального и поля кристаллич. решетки, в конфигурации  $f^3$  вычислены и выражены через 3 интеграла Слейтера, константу спин-орбитальной связи и четыре параметра поля кристаллич. решетки.

Р. Ф.

Х. 1965. 5

*Nd<sup>3+</sup>*

35748 ANALYSIS OF THE ELECTRONIC SPECTRA OF  
NEODYMIUM ETHYLSULFATE. John B. Gruber and  
Robert A. Satten (Univ. of California, Los Angeles). J.  
Chem. Phys., 39: 1455-63(Sept. 15, 1963).

1963

The polarized absorption spectra of single crystals of neodymium ethyl sulfate  $[Nd(C_2H_5SO_4)_3 \cdot 9H_2O]$  were studied between 11,000 and 28,500  $\text{cm}^{-1}$  at 77 and 4.2°K. From the 77°K polarized absorption spectrum of crystals of different thicknesses, it was possible to identify transitions from all the Stark components of the ground level  $I_{1/2}^4$  to many of the Stark components of excited  $SLJ$  levels of the  $4f^3$  configuration. The electronic transitions particularly of the  $I_{1/2}^4$  ground level were reliably singled out from among vibronic transitions. The experimental assignment based on selection rules and the number of transitions observed was further verified by a comparison of the experimental levels with the "free-ion" spectrum predicted on the basis of the

NSA-1963-17-21

parameters  $F_2 = 331.33 \text{ cm}^{-1}$ ,  $F_4 = 47.956 \text{ cm}^{-1}$ ,  $F_6 = 5.313 \text{ cm}^{-1}$ , and  $\xi = 880.11 \text{ cm}^{-1}$ . A first-order crystalline-field splitting calculation based on the parameters  $B_2^0 = 58.4 \text{ cm}^{-1}$ ,  $B_4^0 = -68.2 \text{ cm}^{-1}$ ,  $B_6^0 = -42.7 \text{ cm}^{-1}$ , and  $B_6^6 = 595 \text{ cm}^{-1}$  gives a predicted splitting to within a mean deviation of 4  $\text{cm}^{-1}$ . (auth)

$Nd^{3+}$

Gruber J. L. Sattler R. 1963.  
J. Cli. Ph. 39, 1455 (1963)

Анализ зеэнированного  
сигнала зондирования  
на неодимах.

Обсуждаются изображения  
всех зондеров и поды-  
жащих. Данные уровни  
шумов, измеренные  
из сигнала  $ND$  ( $C_2 H_5 SO_4$ ).

$\text{H}_2\text{O}$  и убираемое  
из кислор. 4f3. или  $\text{Nd}^{3+}$

Воп. 1548-VII

1963

Nd

J 10 Б6. Спектр атома неодима. I. Предварительный анализ и потенциал ионизации Nd I. Hassan G. E. M. A. The atomic spectrum of neodymium. I. Preliminary analysis and ionization potential of Nd I. «Physica», 1963, 29, № 10, 1119—1127 (англ.)

В спектральной области 9201—2400 Å измерены длины волн 25 984 линий Nd I. Обнаружены 9 четных (7 низко расположенных и 2 высоко лежащих) и 20 нечетных уровней. 6 низких уровней принадлежат новой метастабильной конфигурации  $4f^45d6s$ . Показано, что в нечетной группе уровней важной конфигурацией является  $4f^35d6s^2$ . Произведена интерпретация известных ранее нечетных уровней. Потенциал ионизации Nd I равен 5,62 или 5,46 эв.

Резюме автора

Спектр.

нейтраль.

ионизация.

X·1964·10

B92-1548-VII

1963

3773

## THE ATOMIC SPECTRUM OF NEODYMIUM.

I. PRELIMINARY ANALYSIS AND IONIZATION POTENTIAL OF Nd I. G. E. M. A. Hassan (Universiteit, Amsterdam). *Physica*, 29: 1110-27 (Oct. 1963).

The results of new wavelength measurements in the spectrum of neodymium are reported. The spectral region is 3201-2400 Å and in total 25,984 Nd-lines were observed. By means of the new list of wavenumbers 7 low even, 2 high even, and 20 odd levels are discovered. Of the low levels 6 belong to the new metastable configuration  $4f^45d6s$ . In the odd group, the configuration,  $4f^35d6s^2$  is shown to be an important one. A complete re-interpretation is made for the odd levels known previously. The two levels of the high even group form a three term series with  $4f^45d6s^7L_9$ , from which the ionization potential of Nd I is found to be either 5.62 or 5.46 v, the ambiguity being connected with the identification of the series limit in Nd II. (auth)

Nd  
newsp

I

NSA. 1964. 18.3

B.P. 1548-VIII

1963

Nd I.

creases p

(2, 3)

The atomic spectrum of neodymium. I. Preliminary analysis and ionization potential of Nd I. G. E. M. A. Hassan (Univ. Amsterdam). *Physica* 29(10), 1119-27(1963)(in English). The spectral region 9201-2400 Å, with 25,984 Nd lines, was observed. By means of the new list of wave nos. 7 low even, 2 high even, and 20 odd levels are discovered. Of the low levels 6 belong to the new metastable configuration  $4f^45d6s$ . In the odd group, the configuration  $4f^35d6s^2$  is important. A complete reinterpretation is made for the odd levels known previously. The 2 levels of the high even group form a 3-term series with  $4f^45d6s^2L_0$ , from which the ionization potential of Nd I is found to be either 5.62 or 5.46 v., the ambiguity being connected with the identification of the series limit in Nd II. RCPH

C.A. 1963 S9.12  
13487h

Nd

6 Д214. Атомный спектр неодима. I. Предварительный анализ, потенциал ионизации NdI. Hassan G. E. M. A. The atomic spectrum of neodymium. I. Preliminary analysis and ionization potential of NdI. «Physica», 1963, 29, № 10, 1119—1127 (англ.)

1963

Проведены новые измерения длин волн в спектре Nd. В области 9201—2400 Å наблюдены 25984 линии Nd. Полученные волны, числа позволили обнаружить 7 нижних четных, 2 верхних четных и 20 нечетных уровней. 6 из нижних уровней принадлежат к новой метастабильной конфигурации  $4f^45d6s$ . Показано, что в нечетной группе одной из наиболее важных конфигураций является  $4f^35d6s^2$ . Прежняя интерпретация нечетных уровней полностью пересмотрена. Два уровня из группы верхних четных уровней и нижний четный уровень  $4f^45d6s^7L_9$ , образуют три члена одной системы термов; отсюда определен потенциал ионизации NdI, равный 5,62 или 5,46 eV. Неопределенность связана с двоякой возможностью выбора предела, к которому сходятся эти термы в NdII.

В. Елисеев

1

Ф. 1964. 60

BP-1549-VIII

1963

Nd I

Atomic spectrum of neodymium. II. Classification of lines, Zeeman effect, and isotope shift of Nd I. G. E. M. A. Hassan, and P. F. A. Klinkenberg (Univ. Amsterdam). *Physica* 29(11), 1133-54(1963)(in English); cf. CA 59, 13487h. A detailed account is given of the classification of 555 Nd I lines in the spectrum of the electrodeless discharge. A comparison is made with the temp. classification known for 278 tabulated lines. Zeeman effect measurements are reported for 110 classified lines observed in the spectrum of the hollow cathode operating in weak magnetic fields. From these splittings the *g* factors of nearly 75% of all levels could be detd. and the *J* values could be checked, so that only a few ambiguities remain. A discussion is given of the isotope shifts in connection with the line classifications. Although configurations are far from pure, a definite correlation is established that will have to be taken into account when new identifications are made.

RCPH

C.A.1964.60.2  
1234B

БФ-1549-VIII

1963

6 Д215. Атомный спектр неодима. II. Классификация линий, эффект Зеемана и изотопический сдвиг в спектре NdI. Hassang E. M. A., Klinkenberg P. F. A. The atomic spectrum of neodymium. II. Classification of lines, Zeeman effect and isotope shift of Nd I. «Physica», 1963, 29, № 11, 1133—1154 (англ.)

Наблюдено 555 переходов из 607, разрешенных правилами отбора между 12 нижними четными, 128 нечетными и 2 верхними четными уровнями NdI. Результаты табулированы. Для сравнения приведена температурная классификация по Кингу, которая в некоторых случаях позволила разделить линии NdI и NdII. Эффект Зеемана наблюден в слабых полях ( $\sim 10$  кэ), т. к. в сильных полях интенсивны линии NdII. Спектр возбуждался в полом катоде и разрешался с помощью пластинки Люммера. Эффект измерен для 110 наблюденных линий с точностью до 0,01 ед. Лорентца. В случае резких псевдотриплетов и -квартетов точность в 10 раз выше. Поле изменилось прецизионно по расщеплению красных линий.

Nd

спектр,

Помеченные  
изменение.

ср. 1964. 6. 8.

(сек. А/сб.)

Получены значения  $g$ -факторов для 75% всех уровней; могут быть определены и значения  $\Gamma$ . Обсуждаются результаты измерений изотопич. сдвигов в спектре NdI, полученные различными авторами. Даны примерные оценки смещений термов в разных электронных конфигурациях ( $K$ ), причем произвольно положено, что малое смещение  $0 \div 10 \cdot 10^{-3} \text{ см}^{-1}$  имеет место только для  $K$  без внешнего  $s$ -электрона. Учтено взаимодействие термов различных  $K$  (напр., нечетных  $4f^46s6p$ ,  $4f^45d6p$  и  $4f^35d6s^2$ ). 93 линии NdI с измеренной изотопич. структурой разделены на 5 групп в зависимости от величины смещения. Ч. I см. реф. бД214.

А. Яров

1963

*Nd*  
*шемп*

▼ 24 Б7. Спектр атома неодима. II. Классификация линий, эффект Зеемана и изотопические смещения в спектре NdI. Hassan G. E. M. A., Klinkenberg P. F. A. The atomic spectrum of neodymium. II. Classification of lines, Zeeman effect and isotope shift of Nd I. «Physica», 1963, 29, № 11, 1133—1154 (англ.)

Правилами отбора разрешены 607 переходов между 12 нижними четными, 128 нечетными и 2 верхними четными уровнями NdI. Из них наблюдалось 555. Результаты табулированы. Для сравнения приведена температурная классификация по Кингу, позволившая разделить некоторые линии NdI и NdII. Спектр возбуждался в полом катоде и разрешался с помощью пластинки Люммера. Поле измерялось прецизионно по расщеплению красных линий Ne. Получены значения g-факторов для ~75% всех уровней. Обсуждаются результаты измерений изотопич. сдвигов в спектре NdI, полученные различными авторами. Сообщение I см. РЖХим, 1964, 10Б6. А. Яров

Х. 1964. 24

$Na^{3+}$ .

Kiss Z. J.

1962

J. Ch. Phys. 38, 1476 (1962)

Crystal Field Splittings  
in  $CaF_2 \cdot Na^{3+}$ .

Определено спиральное  
расщепление  
уровней  $^4I_{9/2}$  и  
 $^4I_{11/2}$  соединения  $Na^{3+}F$

ав.  
М. О.

$\text{CaF}_2$ . Данное сравни-  
ваемое с расчётом  
уровней энергии гол  
суперядально кубиче-  
ского иона, содержащего  
ионные 4<sup>о</sup> и 6<sup>о</sup> порядка.

Nd<sup>3+</sup>.

Namba S. Kim P.H.

1963<sub>2</sub>.

J. Opt. Soc. Am 53 N2 (1963)  
cusp 1447.

Stimulated emission  
from Nd<sup>3+</sup> in glass rod.

Случайно я проводил  
очень чистое излучение  
1.06 μ, обусловленное  
1.06 μ, обусловленное

$^4F_{3/2} - ^4F_{1/2}$  переходом

в  $^2P_{1/2}$  подле Nd<sup>3+</sup>  
cusp 1447.

Онсам... экспрессий.

Nd<sup>3+</sup>.

Tinsley. B. H.

1962.

J. Chem. Phys. 39 N12, 3503.

Анализ ошибочного  
секунда начиная  
издание в ~~теории~~  
 $\text{Nd}_2\text{Mg}_3(\text{NO}_3)_{12} \cdot 2\text{H}_2\text{O}$ .

Секунда изображающей  
ется в свете теории  
см H/O присоединенного пар

использовалась  
в процессе своего воссоздания  
художником  
свои.

Даны шаблоны расцветок  
шарашек из Yudd'it,  
шаблоны уровней синергии  
и фрактала мозаичного  
расщепления.

1964

Nd

I

Clip

The spectrum of Nd I. S. Held (At. Energy Comm., Rehovoth, Israel). AEC Accession No. 5842, Rept. No. IA-927. Avail. AEC, 37 pp.(1964)(Eng). The Nd I spectrum was sep'd. from the spectrum of the higher ionization stages by using only a d.-c. arc as the excitation source. The Nd I lines observed in the 2717.13-2956.14-A. and 4499.66-5501.50-A. spectral ranges are listed. Many Nd I lines were found in this investigation which were not reported by King. Of the lines classified by Hassan and Klinkenberg as Nd I, some were found to belong to the neutral atom spectrum, some were assigned to the Nd I spectrum, and many were not detected at all. From *Nucl. Sci. Abstr.* 19(4), 662(1965). TCNG

C.A. 1965-63-2  
135 Lg -

Nd(I)

1964

check book.

2717.13A-2956.14A

4499-5501

5842

(IA-927) THE SPECTRUM OF Nd I. SOME RESULTS AND REMARKS. S. Held (Israel. Atomic Energy Commission. Soreq Research Establishment, Rehovoth). Mar. 1964. 37p. Dep.(mn).

The Nd(I) spectrum was separated from the spectrum of the higher ionization stages by using only a d-c arc as the excitation source. The Nd(I) lines observed in the 2717.13A-2956.14A and 4499.66A-5501.50A spectral ranges are listed. Many Nd(I) lines were found in this investigation which were not reported by King. Of the lines classified by Hassan and Klinkenberg as Nd(I), some were found to belong to the neutral atom spectrum, some were assigned to the Nd(II) spectrum, and many were not detected at all. (auth)

NSA · 1985 · 19 · 4

$\delta$ ; (La, Pr, Nd, Sm, Eu, Gd, Tb, 1964  
Dy, Ho, Er, Ta, Yb, Lu) VIII 172

Mossotti V. G., Fassel V. O.,  
Spectrochim. acta, 1964, 20,  
N7, 1117-27

pp 66

92134

10

Nd I

спектр

9 Д147. Изотопические смещения в спектре Nd I  
Ra o P. R., Cl uck G. Isotope shifts in the Nd I spectrum.  
«Proc. Roy. Soc.», 1964, A277, № 1371, 540—548 (англ.)

1964

С помощью эталона Фабри — Перо измерена изотопич. структура более чем 50 линий в диапазоне 5200—6000 Å, разделенных на 3 группы по величине смещения. Спектр Nd возбуждался в неоновом полом катоде. Приведена температурная классификация по Кингу. Линии интерпретированы как переходы между нижними четными уровнями конфигураций (K)  $4f^46s^2$  и  $4f^45d6s$  и нечетными уровнями K  $4f^35d6s^2$ ,  $4f^46s6p$  и  $4f^45d6p$  или их комбинациями. Теоретич. расчет по классификации Хассана дал существенное расхождение с экспериментом в большинстве случаев. Компоненты нечетных изотопов обнаружены только на линии 5525,74 Å, причем отмечена аномалия в расположении компоненты Nd<sup>143</sup> относительно Nd<sup>142</sup>, <sup>144</sup>.

А. Яров

Ф. 1964. 98

1964

№ 22 Б18. Изотопические смещения в спектре Nd I.  
Rao P. R., Cluck G. Isotope shifts in the Nd I spectrum.  
«Proc. Roy. Soc.», 1964, A277, № 1371, 540—548  
(англ.)

С помощью эталона фабри-Перо измерена изотопическая структура более чем 50 линий Nd в диапазоне 5200—6000 Å, разделенных на 3 группы по величине смещения. Приведена температурная классификация по Кингу. Линии интерпретируются как переходы между нижними четными уровнями конфигураций  $K$   $4f^46s^2$  и  $4f^45d6s$  и нечетными уровнями  $K$   $4f^35d6s^2$ ,  $4f^46s6p$  и  $4f^45d6p$  или их комбинациями. Теоретич. расчет по классификации Хассана дал существенное расхождение с экспериментом в большинстве случаев. Компоненты нечетных изотопов обнаружены только на линии 5525,74 Å, причем отмечена аномалия в расположении компоненты Nd<sup>143</sup> относительно Nd<sup>142,144</sup>.

А. Яров

Р. 1964 № 22

1965

W, Os, Nd (Ei)

VI-4067

Gluck G.

Ann. phys., 1965, 10, N9-10, 673-96.

Etude du déplacement isotopique du tungstène  
de l'osmium, du néodyme. Contribution à la  
classification des spectres d'arc de ces  
éléments.

RF., 1966, 5D217

J

Herb Jace

Nd Hechal Sina. 1965

Israel Atomic Energy Commission.  
(Repr.), 1964, 40 pp.

Несколько замечаний по изучению  
супракомплексной адсорбции ионов  
металлов Ce, Nd и Sm на каолине

~~Несколько~~ (на Ce).

VIII 2413

1968

$\text{La}^+$ ,  $\text{Sm}^+$ ,  $\text{Ho}^+$ ,  $\text{Ce}^+$ ,  $\text{Eu}^+$ ,  $\text{Er}^+$ ,  $\text{Pr}^+$ ,  $\text{Gd}^+$ ,  $\text{Tm}^+$ ,  
 $\text{Nd}^+$ ,  $\text{Tb}^+$ ,  $\text{Yb}^+$ ,  $\text{Pm}^+$ ,  $\text{Dy}^+$ ,  $\text{Lu}^+$  (J)

Sugar J., Reader J.;

J. Opt. Soc. America,

1965, 55, 1286-1290

10

CA, 1965, 63, n10, 12507c leuis orinica

Nd

BQ-2518-VIII

1965

Weiershausen W.

(9) "Ann. Phys.", 1965, 15

N5-6, 252-42

VIII 9193.

1966

J(Ce, Pr, Nd, Pm, Sm, Eu,  
Dy, Ho, Er, Tu, Yb)

Reader J., Sugar J.

J.Opt.Soc.America, 1966, 56, N9, 1189-94.

Ionization energies of the neutral  
rare earths.

RF, 1967, 1D16 J, F

Nd<sup>+</sup> ammick 6923 1966

(A.P.)

Zmbov K.F., Margrave J.L.  
U.S. At. Energy Comm. ORO-2907-I6.

$Nd^+ C_4$  ( $D_{(ar.4)}$ ); VIII 364 1968  
DH ( $NdC_2$ ,  $Nd$ , C); DH ( $NdC_4$ ,  $NdC_2$ , C)  
A.P. ( $Nd^+$ ,  $NdC_2^+$ ,  $NdC_4^+$ )

Balcerzak G., Capalbi A., De Maria R.,  
Paredes M.

J. Chem. Phys., 1968, 48, vII, 5275-5276  
(auss.)

Atomization energy of the  $NdC_4$   
molecule.  $\bigcirc$

Rev. 9<sup>th</sup> 1968, 128100. 10, M  $\bigcirc$  H<sub>2</sub>

$Nd^{3+}$

[Dm. 22431]

1968

Carnall W.T., Fields P.R.,  
et al.,

neutron-  
creepage  
 $\delta p-pax$

J. Chem. Phys., 1968, 49(10),  
4424 - 4442.

• (y KOTENIECKO)

La, Ce, Pr, ~~iso~~, Sm, Eu, Gd, Tb, Dy, 1963

J. Phys. Chem. Solids 31-176

No, Zr, Ti, Yb, Lu, Pm VIII 105 87

Hertel G.R.

J. Chem. Phys., 1968, 48, v5, 2053 (cont)

Surface ionization. To the first  
ionization potentials of the  
lanthanides.

Q W (P) 14

Am Rev, 4692, 1969, Curr. Opin.

Nо 1 (1)

1969

4 Д309. Изотопический сдвиг в NdI. Comani-  
ciu Nicolae. Déplacements isotopiques du NdI. «Rev.  
roumaine phys.», 1969, 14, № 7, 603—608 (франц.)

Измерен изотопич. сдвиг между изотопич. парами Nd I  
для длии волн 5729, 5675, 5620, 4945, 4924 и 4897 Å.  
Для этой цели использовался фотоэлектрич. спектро-  
метр Фабри—Перо; источником служила лампа Шуле-  
ра. Сделан вывод, что эксперим. данные можно хорошо  
объяснить наличием эффекта массы. В. П. Шевелько

шоршес.

сфир

09. 1970. 40

Nd III, IV Crosswhite-H.-M. 1969  
Zudd B.R.

U.S. Clearinghouse Fed.  
Sci. Tech. Inform., AD  
1969, N° 69 8784, 6 pp.

8;  
6;



(Cet. Pr) III

$\text{Ce}^{\text{III}}$ ;  $\text{Pr}^{\text{III}}$ ;  $\text{Nd}^{\text{III}}$ ;  $\text{Sm}^{\text{III}}$ ;  $\text{Eu}^{\text{III}}$  1969  
 $\text{Gd}^{\text{III}}$ ;  $\text{Tb}^{\text{III}}$ ;  $\text{Dy}^{\text{III}}$ ;  $\text{Ho}^{\text{III}}$ ;  $\text{Er}^{\text{III}}$  ~~6508~~  
 $\text{Tm}^{\text{III}}$ ;  $\text{Yb}^{\text{III}}$ ;  $\text{Lu}^{\text{III}}$  (J) VIII 3458

Factor M., Flackes R.

J. Inorg. and Nucl. Chem.,  
1969, 31(6), 1649-59

10

EOTW 1969

1969

$\text{Ce}_2$	$\text{Pr}_2$	$\text{Nd}_2$	$\text{Sm}_2$	$\text{Eu}_2$	$\text{Tb}_2$	$\text{Dy}_2$	
$\text{Ho}_2$	$\text{Er}_2$	$\text{Th}_2$	(Do)		?	VIII	912
Fingerich K.A.,				0mm.	655	10	13

Chem. Commun., 1969, (1), 9-10.

Mass-spectrometric determination of  
the dissociation energy of the  
diatomic cerium molecule and pre-  
dicted stability of diatomic rare earth metals.  
CA, 1969, 20, J14, 61894m

P<sub>e</sub> IV, Nd III, Nd IV, Sn III, Gd IV,  $(\epsilon_i)$  1969  
Dy IV, Er III, Er IV, Th III, Tb IV 8

Grosswite H. M., Yudd B. R. VII 3836

U.S. Clearinghouse Fed. Sci.

Tech. Inform., 1969, AD, N° 6987  
→ 84, 6 pp (continued)

15 ( )

to

CP, 1970, Y3, N10, 504354

Nd IV

VIII-3734

1969

8i

116492c Spectrum of neodymium IV. Irwin, David J. G.  
(Johns Hopkins Univ., Baltimore, Md.). 1969, 103 pp. (Eng).  
Avail. Univ. Microfilms, Ann Arbor, Mich., Order No. 69  
21,084. From *Diss. Abstr. Int. B* 1969, 30(6), 2873. SNDC

C.A. 1970 72-22

1969

Nd

6 Д319. Изотопический сдвиг линии неодима 5525 Å  
Saksena G. D., Ahmad S. A., Meenakshi K. Iso-  
 tope shift in 5525 Å line of neodymium. «Indian J. Pure  
 and Appl. Phys.», 1969, 7, № 11, 743—745 (англ.)

С помощью сканирующего давлением спектрометра Фабри—Перо изучена изотопич. структура линии NdI 5525,7 Å, возбуждаемая в полом катоде. Показано, что 5525,7 Å состоит из двух линий ( $\lambda_1$  и  $\lambda_2$ ). Линия  $\lambda_2$  для изотопа Nd<sup>142</sup> лежит на расстоянии 4500 см<sup>-1</sup> с длинно-волн. стороны от  $\lambda_1$ . Обе линии  $\lambda_1$  и  $\lambda_2$  обнаружили отрицательный изотопич. сдвиг. Для линии  $\lambda_1$  измеренный изотопич. сдвиг равен (в 10<sup>-3</sup> см<sup>-1</sup>)  $\Delta\sigma_{ис}(Nd^{142}-Nd^{144}) = -77 \pm 1$ ;  $\Delta\sigma_{ис}(Nd^{142}-Nd^{143}) = 40 \pm 3$ ;  $\Delta\sigma_{ис}(Nd^{144}-Nd^{146}) = -74 \pm 1$  и  $\Delta\sigma_{ис}(Nd^{144}-Nd^{145}) = 35 \pm 2$ . К. Н. Кошелев,

81

ф. 1970

68

1969

ВР-3467-VIII

Nd(7)

E<sub>i</sub>

6 Д318. Интерпретация электронных конфигураций по дуговому спектру неодима. Wyart J. F. Interpretation de configurations électroniques dans le spectre d'arc du néodyme. «J. phys.», 1969, 30, № 1, suppl., 50 (франц.; рез. англ.)

С помощью эффекта Зеемана идентифицированы 10 конфигураций Nd I. Кратко описаны результаты расчета энергий уровней и других параметров для двух конфигураций. Приведены таблицы энергий уровней для 10 конфигураций и параметров для конфигураций  $4f^45d6s$  и  $4f^35d6s^2$ .

А. М. Урнов

оф. 1970

6\*

Nd<sub>1</sub>(7)

BP-3467-VIII

1969

55126s · Electronic configurations in the neodymium spectrum.

Wyart, J. F. (Lab. Aime Cotton, Orsay, Fr.). *J. Phys. (Paris), Colloq.* 1969, 30(1), 50 (Fr). Ten configurations in the Nd I spectrum were detd. from anal. of the Zeeman effect. Parametric calcns. for the  $4f^45d6s$  and  $4f^35d6s^2$  configurations are described.

Margarete Lindsley

86 i

C.A. 1969

41-12

Nd (I, II)

VIII-374

1970

1Д424. Изучение спектров испускания в ИК-области с использованием спектрометра SISAM. IV. Спектры испускания неодима. Blaise J., Chevillard J., Vergès J., Wyart J. F. *Etude des spectres d'émission dans l'infrarouge par l'emploi d'un SISAM. IV. Spectre d'émission du néodyme.* «Spectrochim. acta», 1970, B25, № 7, 333—381 (франц.; рез. англ.)

С помощью спектрометра SISAM изучены спектры испускания Nd (0,8—2,5 мк), возбужденные в безэлектродной разрядной трубке. С точностью 0,05—0,25 см<sup>-1</sup> изучены частоты 2049 линий в спектре в зависимости от их интенсивности. С помощью спектрометра SISAM высокого разрешения изучена зеемановская структура 37 линий Nd, а также зеемановские спектрограммы (11 200—2900 Å), что позволило классифицировать 723 линии Nd в ИК-области. Найденное число уровней составило 687 для Nd I и 684 для Nd II. Ч. III см. РЖФиз, 1970, 1Д248.

Т. А. Т.

09.1971. 100

VII - 3771

1970

Nd I II

103781s Infrared emission spectra recorded with a SISAM

[interference spectrometer with selection by modulation amplitude]. IV. Neodymium emission spectrum. Blaise, Jean; Chevillard, J.; Verges, J.; Wyart, J. F. (Lab. Aimé Cotton, C.N.R.S., Orsay, Fr.). *Spectrochim. Acta, Part B* 1970, 25(7), 333-81 (Fr). The Nd spectrum, emitted by an electrodeless tube, has been recorded with a SISAM spectrometer between 0.8 and 2.5  $\mu$ . The wavenos. of 2049 lines have been measured with a precision varying from 0.05 to 0.25  $\text{cm}^{-1}$ , depending on the intensity of the lines. The Zeeman structures of 37 lines have been measured with a high-resoln. SISAM spectrometer. These measurements were based on the study of Zeeman spectrograms between 11200 and 2900 Å, and have permitted the classification of 723 ir lines. The no. of levels is 687 for Nd I and 684 for Nd II.

RCNS

C.A.1970.73.20

Sm, Nd, U(E<sub>i</sub>) 8 1970  
Morillon C., VII 4326'

Spectrochim. Acta, 1970, B25, No,  
513-38 (ppress.)

Emission spectra of samarium,  
neodymium, and  
yttrium between 2.3 and  
4.1 μ studied with a grating  
spectrographer

Nd(IV) 1970  
Sadziuviene S. et al.

Liet. fiz. rinkinys, 1970,

(Ei) 10 (6), 873-86



(cur. Ce; III)

Nd II

2 ДЗ04. Исследование конфигураций  $4f^46s$  и  $4f^45d$  в Nd II. Wyart Jean-François. Etude des configurations paires  $4f^46s$  et  $4f^45d$  de Nd II. «J. phys.» (France), 1970, 31, № 7, 559—564 (франц.; рез. англ.)

18/21

При исследовании спектра Nd II получено 47 новых нижних уровней, принадлежащих конфигурациям  $4f^46s$  и  $4f^45d$ . Теоретич. расчет собственных значений энергии  $E_t$  и  $g$ -факторов Ланде этих конфигураций позволил интерпретировать 78 ранее измеренных эксперим. уровней с точностью  $57 \text{ см}^{-1}$ . Расчет проводился в схеме  $LS$ -связи с учетом спин-орбитального взаимодействия. Энергетич. параметры  $P$  подбирались методом наименьших квадратов из условия минимума значения  $E = [\sum (E_{\text{эксп}} - E_t)^2 / (N - P)]^{1/2}$ ,  $N$  — число исследуемых уровней. Приведены значения вычисленных параметров для конфигураций  $4f^46s$ ,  $4f^45d$  и  $4f^4$  ( $5d + 6s$ ), а также обширные таблицы значений  $E_{\text{эксп}}$  и  $E_t$  (с учетом расщепления по  $J$ ),  $g_{\text{эксп}}$  и  $g_t$  для 78 идентифицированных уровняй Nd II.

В. П. Шевелько

09. 1971.

28

Nd I, II

VII - 5211

1971

D 2 Д388. Современное состояние анализа NdI и NdII.

Blaise J., Wyart J. F., Hoekstra R., Kruiver P.-J.-G. Present state of the analysis of Nd I and Nd II. «J. Opt. Soc. Amer.», 1971, 61, № 10, 1335—1342 (англ.)

Ei

Полуэмпирический метод расчета энергий уровней применен для отождествления спектра Nd I и Nd II. Одноизотопный спектр возбуждался в безэлектродном разряде и регистрировался в области 2450—40500 Å с помощью 9,15-м спектрографа и ИК-спектрометров. Измерены длины волн 25 000 переходов и найдено 1500 энергетич. уровней. Применялся также анализ зеемановской структуры и сверхтонкого расщепления. Сравнение результатов расчета и эксперимента проведено для 15 конфигураций Nd I и Nd II. Библ. 21. К. Н. К.

3. 1972

20

Nd-II

VII - 3957

1970

**125242u** Theoretical interpretation of the  $4f^46s$  and  $4f^45d$  configurations of Nd II. Wyart, Jean F. (Lab. Aime Cotton, Fac. Sci., Orsay, Fr.). *J. Phys. (Paris)* 1970, 31(7), 559-64 (Fr). The classification of Nd II spectrum has led to the discovery of 47 new low levels which belong to the  $4f^46s$  and  $4f^45d$  configurations. The theoretical calcn. of the energy eigenvalues and the Lande g-factors of the 2 configurations taken together allowed the interpretation of the 78 exptl. levels with root mean square error of  $57^{\circ}\text{K}$ . Eigenvectors are given in the LS scheme. The values of the radial parameters have been fitted by the least-squares method.

RCTT

C.A. 1970

73.24

NDI

16778a

1971

(E)

Brewer, Leo.  
J Opt. Soc. Am.  
to be pub. 1971, Nov ., vol 61.

$Nd^+$                           (OM. 28644)                  1971  
 $Nd^{+2}$ ,  $Nd^{+3}$                   Brewer L.,

Энерг. и                  J. Opt. Soc. Amer.,  
электрон.                  1971, 61, N 12, 1666-1682.  
конденс-  
ционации

<sup>Nd</sup>  
Ramanamurthy (I) 8 A-1737 1971

Gopal R., Husain M.M., 25  
J. Indian Chem. Soc., 1971,  
48, № 4, 405-7 (ann.)

Relation between binding  
energy and melting points  
of Lanthanide elements.

6

(cav. orissa) C7, 1971, 75, №: 406524

Атомие замасувогөй (E<sub>i</sub>) 8VII 5122 1971  
Nd и актиуидыгөй

Nugent Z.J., Vander Sluis R.L.,

J. Opt. Soc. Amer., 1971, 61, N8, 1112-  
-15 (анн.)

Theoretical treatment of the <sup>2D</sup> energy differences between  
f<sup>9</sup>d<sup>1</sup>s<sup>2</sup> and f<sup>8+1</sup>s<sup>2</sup> electron  
configuration's for lanthanide  
and actinide atomic vapors.  
10 (ciss. опрессия) CA, 1971, 75, N14, 92604Z

Nd

4 Д287. Оптические изотопические сдвиги в Nd.  
King W. H., Steudel A., Wilson M. Optical isotope  
shifts in neodymium. «Z. Phys.», 1973, 265, № 3,  
207—224 (англ.)

1973

(Ei)

Обзор измерений изотопич. сдвига в Nd. Приведены таблицы измеренных различными методами изотопич. сдвигов в Nd II для конфигураций  $4f^6s - 4f^45d$ . Обсуждаются 5 методов определения сдвига  $\Delta_m$  из-за эффекта массы. Обсуждаются также 3 метода определения зарядового распределения ядра  $\delta\langle r^2 \rangle$ ; приведена таблица измеренных значений  $\delta\langle r^2 \rangle$  для указанных изотопов. Приведена обширная таблица изотопич. сдвигов для других переходов в Nd II, а также для переходов в Nd I. Приведены таблицы вычисленных методом Хартри — Фока в нерелятив. приближении значений  $|\Psi(0)|^2$  и констант экранировки  $\beta_s$  для конфигураций в Nd I и II. Библ. 25.

В. П. Шевелько

— 5854  
VIII

4. 1974 N 4

Ходырь, непропозиционные (I) 1973  
дискуссию A-2207

Sugar J., Reader J.,

J. Chem. Phys., 1973, 59, N4, 2083 -  
- 2089 (анал.)

Ionization energies of doubly  
and triply ionized rare  
earths.



HO
(анал. опроверг)

Beckee, 1974, 359

1974

# Nd (I)

(Ei)

87: 31529e New energy levels in the spectrum of neodymium(NdI). Hassan, G. E. M. A.; Abbas, A.; Turki, A. H. (Fac. Eng., Univ. Riyadh, Riyadh, Saudi Arabia). *J. Nat. Sci. Math.*, 1974, 14(1), 67-71 (Eng). A total of 14,824 Nd I lines were recorded in the region 2160-9080 Å and by using a new list of wavenos., 16 levels in the low even group and 29 odd levels were discovered and added to the existing Nd I scheme. The classified lines are now 1096 instead of 555. From the Zeeman effect splittings the *g*-factor of 38 levels were detd. and their *j*-values were checked.

C.A. 1977. 87 n 4

J, E; (La, Ce, Pr, Nd, Pm, Sm, Eu, Gd, 1974  
Tb, Dy, Ho, Er, Tm, Yb, Lu, Hf, Pa, Th, U, Np,  
Pu, Am, Cm, Bk, Cf, Es, Fm, Md, No, Lr)

Martin W.C., Hagan L, Reader J, Siegar J,  
J. Phys. and Chem. Ref. Data, 1974, 3, v3,  
771-773 (see 771) VIII-512; Ann. de l'Inst.  
P. et M. Curie, 1970, 29, 32

Ground levels and ionization potentials  
for lanthanide and actinide  
atoms and ions.

Publ. 1975, 23522

10

(9)

40515.8735

TE, CH, PH

Nd

40892

1974

(D)

X-44684

Sluis ~~W~~ K. L. Vander, Nugent L. J.

Ionization energies of doubly ~~and~~ and  
triply ionized lanthanides by a lineariza-  
tion technique.

"J. Chem. Phys.", 1974, 60, N 5, 1927-1930

(англ.) 0.001 руб.

023 091 049

ВИНИТИ

Nd (I)

1975

KS-13250

(E<sub>i</sub>)

Bop - 906-X/110

84: 157463k New energy levels in the spectrum of neodymium-neodymium (Nd I). Hassan, G. E. M. A.; Abbas, A.; Turki, A. H. (Univ. Riyadh, Riyadh, Saudi Arabia). *Indian J. Phys.* 1975, 49(10), 729-31 (Eng). The spectrum (2110-9080 Å) of Nd was recorded and 14,284 lines were obsd. From the wave nos. of these lines it was possible to identify 45 levels of which 16 were even. From the Zeeman effect splitting the "factors of 38 levels were detd. and their *j*-values were checked.

E. O. Forster

u) Neptunus Her

C.R. 1976 84 N22

Ncl

1975

(Ei)

) 85; 114221h New energy levels in the spectrum of neodymium(Nd I). Hassan, Galal E. M. A.; Abbas, Adel; Turki, Abdelhalem (Fac. Eng., Univ. Riyadh, Riyadh, Saudi Arabia). *Bull. Fac. Sci., Riyadh Univ.* 1975, 7, 339-44 (Eng). A total of 14,284 new Nd lines were recorded in the 2100-9080 Å region resulting in the discovery of 16 levels in the low even group and 29 odd levels. The g-factors of 38 levels were detd. from the Zeeman effect splittings and their j-values were checked.

C.A. 1976 85n 16

*Nd(I)*

*ВФ - 906-XVIII* · 1975

2 Д265. Новые энергетические уровни в спектре неодима — NdI. Hassan G. E. M. A., Abbas A., Tutki A. H. New energy levels in the spectrum of neodymium-NdI. «Indian J. Phys.», 1975, 49, № 10, 729—731 (англ.)

В области 9080—2100 Å наблюдалась 14 284 новых линий неодима, позволившие обнаружить 45 уровней (16 четных и 29 нечетных). С помощью исследования расщеплений в эффекте Зеемана определены *g*-факторы для 38 уровней и *j*-величины.

*Ei,  
сшкр.*

*FG - f5250*

*9. 1974. N2*

*Nd (I, II)*

1976

(E<sub>i</sub>)

86: 163132j Isotope shift studies in neodymium spectra. I.  
Ahmad, S. A.; Saksena, G. D. (Spectrosc. Div., Bhabha At.  
Res. Cent., Bombay, India). *Physica B + C* (Amsterdam)  
1976, 85 B+C(1), 191-200 (Eng). The isotope shift  $\Delta\sigma(^{142}\text{Nd}-^{144}\text{Nd})$   
was recorded in 311 lines of the Nd spectrum in the region  
3900-4760 Å on a recording Fabry-Perot spectrometer using  
enriched isotopes. Large isotope shifts were obsd. mostly in  
transitions involving  $4f^35d6s^2$  configuration of Nd I as the lower  
level. Transitions involving 13 levels assigned to the  $f^4p$   
configuration of Nd II were studied and the extent of configuration  
mixing in these levels is discussed. A few new lines were found  
very close to some of the listed lines. The "source-exchange"  
technique was employed for measuring the isotope shift in these  
and other close lines.

C.A.1977.86 n22

Nd(I)

фз-17517

1976<sup>0</sup>

Nd(II)

7 Д343. Атомные спектры редких земель с высоким разрешением: современное состояние. Saksena G. D., Ahmad S. A. High resolution atomic spectra of rare earths: progress report. «Indian J. Phys.», 1976, 50, № 2, 126—130 (англ.)

Gd(II)

Краткий обзор исследований по изотопич. сдвигу (ИС) в спектрах NdI, NdII и GdI, II, проводимых в Атомном исследовательском центре в Бомбее. Измерение ИС линий позволяет в ряде случаев провести частичную идентификацию, т. е. определить участвующие в переходе электронные конфигурации. ИС в диапазоне 6 мк — 110 мк измерен для ~1250 линий Nd и ~150 линий Gd. В настоящий момент идентифицированы все нижние четные состояния NdI (39) и NdII (78), а также 144 из 487 измеренных нечетных состояний NdI и 34 из 503 для NdII. Для высоких четных состояний соответственно: 37 из 161 (NdI) и 5 из 91 (NdII). Библ. 10.

К. Н. К.

№1

☒

φ. 1977. № 7

Nd

Gd

(Ei)

Bpp-\*US-17594

1976

85: 85062z High resolution atomic spectra of rare earths: progress report. Saksena, G. D.; Ahmad, S. A. (Spectrosc. Div., Bhabha At. Res. Cent., Bombay, India). *Indian J. Phys.* 1976, 50(2), 126-30 (Eng). High resoln. studies of at. spectra of neodymium and gadolinium are being carried out on a recording Fabry-Perot spectrometer. The present progress report concerns work done on new assignments as well as confirmation of recently assigned electronic configurations and evaluation of isotope shifts of energy levels which have been possible from the isotope shift data obtained for several transitions of Nd I, Nd II and Gd I, Gd II, resp.

(+/-)

C.A. 1976 85 N 12

Nd

XVIII - 7285 1977

20 Б15. Применение теории «наклонного W» для высоких потенциалов ионизации шестых и более высоких потенциалов лантанидов. Sinha Shyama P. Application of the «inclined W» theory in predicting the sixth and the higher ionization potentials for the lanthanide series. «Proc. 18 Int. Conf. Coordinat. Chem., São Paulo, 1977». São Paulo, 1977, 22 (англ.)

(γ)

☒

(+14)

С использованием описанного ранее (Structure and Bondong, 1976, 30, 1) метода «наклонного W», согласно к-рому св-во  $(P)f$ -элементов и ионов является функцией полного орбитального углового квантового числа ( $l$ ) атома или иона в основном состоянии ( $P_i = W_i L + K_i$ ), рассчитаны шестой и более высокие потенциалы ионизации (ПИ) лантанидов. Приведены только 6-й ПИ (эв): 78,71 (Nd), 81,07 (Pm), 81,72 (Sm), 82,06 (Eu), 83,26 (Gd), 85,20 (Tb), 88,34 (Dy), 84,17 (Ho), 85,86 (Er), 85,67 (Tm), 87,15 (Yb), 87,35 (Lu), 88,83 (Hf).  
Б. М. Ковба

X, 1978, №20

Книга Бюро по стандартам

1948

Martin W.C., et al

Nd и ионов

National Bureau of

Standards: Washington

1948, 411 pp

з  
(таблицы) NSRDS-NBS - 60

(See La III)

*Nd*

1957

8 Д230. Ридберговские серии в лантаноидах и актиноидах, наблюденные с помощью ступенчатого лазерного возбуждения. Worden E. F., Solarz R. W., Paisner J. A., Rajnak K., Shore B. W., Conway J. G. Rydberg series in the lanthanides and actinides

Ридберг.  
Серии

(5)

⑦ ⑧

спк  
Боле

Ф.1979.№8

observed by stepwise laser excitation. «Etats atom. et mol. couplés contin. atom. et mol. hautement excités. Colloq., Aussoi, 1977». Paris, 1977, 341—353 (англ.)

Разработано несколько методик ступенчатого лазерного возбуждения ридберговских серий и распознавания автононизационных уровней в сложных атомных системах, которые применены для исследования лантаноидов и урана. Использование методик лазерного возбуждения позволяет обойти многие трудности, присущие обычной абсорбционной спектроскопии этих тяжелых атомов с очень сложными спектрами. Найдены потенциалы ионизации с точностью в 10—100 раз более высокой, чем ранее. В электрон-вольтах они составляют: Ce 5,5387(4), Nd 5,5250(6), Sm 5,6437(10), Eu 5,6704(3), Gd 6,1502(6), Tb 5,8639(6), Dy 5,9390(6), No 6,0216(6), Eg 6,1077(6) и U 6,1914(5). Обнаружено, что зависимость от  $N$  энергии ионизации  $l^N s^2 - l^N s$  является прямолинейной с изломом при  $N$ , соответствующем наполовину заполненной оболочке. Этой зависимости энергии ионизации дано качественное объяснение и предложено использовать ее для получения неизвестных потенциалов ионизации атомов или ионов в сериях  $l^N s^2 - l^N s$  и  $l^N s - l^N$ . Библ. 14.

А. Н. Рябцев

Nd

1978

Worden, E.F. et al.

J. Opt. Soc. Am. 1978, 68(I),  
52-61.

(y)

cell. C<sub>e</sub> - III

Nd

1980

Sen, Kali D, et al

Theor. chim. acta, 1980, 58,  
N2, 69-71

Ko. work.  
page 3

call. Cl - 17

Nd II

[COMMICK 12495]

1921

MILNEYAR. Ahmad S.A., SAKSENA G.D.,  
E.KOTLER,  
i,  
ii. Spectrochim. Acta, B 1981, 36,  
No 10, pp. 943-950.

Isotope shifts in the energy  
levels of ...

Nd

1981

97: 14540r Lifetimes of excited levels of neodymium (Nd I and Nd II). Oscillator strength of neodymium (Nd I) spectral lines. Gorshkov, V. N.; Komarovskii, V. A.; Osherovich, A. L.; Penkin, N. P. (Leningr. Gos. Univ., Leningrad, USSR). *Astrofizika* 1981, 17(4), 799-806 (Russ). Lifetimes of 33 excited levels of Nd I and 11 levels of Nd II were measured by the delayed-coincidence method. The values of Nd I were used to transfer to the abs. scale  $f_{rel}$  for 116 spectral lines of Nd I previously measured by the hook method.

( $f_{nm}$ )

C.A. 1982, 97, Nd.

1981

# Nd (I)

2 Д496. Прецизионные измерения сверхтонкой структуры и изотопических сдвигов 9 спектральных линий NdI. High resolution measurements of hyperfine structure and isotope shifts in 9 spectral lines of NdI. Van Leeuwen K. A. H., Eliel E. R., Post B. H., Hogervorst W. «Z. Phys.», 1981, A301, № 2, 95—99 (англ.)

Измерены с высокой точностью изотопич. сдвиги (ИС) и расщепления сверхтонкой структуры (СТС) для 9 излучат. переходов на основную конфигурацию  $4f^46s^2$  атомов неодима ( $\lambda = 567 - 631$  нм). Применена схема скрещенных пучков лазерного излучения и атомов Nd, последние образовывались в Та печи при электронной бомбардировке. Использовался кольцевой лазер на красителе непрерывного действия с шириной линии 1 МГц, стабилизация и контроль частоты лазерного излучения проводились эталоном Фабри — Перо при активной стабилизации длины эталона. Для 7 из исследуемых линий определены величины ИС всех стабиль-

н.

оф. 1982, 18, № 2.

ных изотопов Nd ( $A=142, 143, 144, 145, 146, 148$  и  $150$ ) и постоянные СТС  $A$  и  $B$ , для остальных линий определены только ИС четных изотопов. Относит. точность определения ИС  $\sim 10^{-3}$ , величин  $A$  и  $B$  — порядка нескольких процентов. Библ. 19. С. Ч

юдий  
и

Nd(k)

1981

Rao R. V., et al.

has been  
not established.

Indian J. Pure Appl.  
Phys. 1981, 19 (10),  
964 - 972.

(See Al(k); III)

1981

Nd

82)

95: 105715b High resolution measurements of hyperfine structure and isotope shifts in 9 spectral lines of neodymium (Nd I). Van Leeuwen, K. A. H.; Eliel, E. R.; Post, B. H.; Hooijervorst, W. (Natuurkundig. Lab., Vrije Univ., NL-1007 MC Amsterdam, Neth.). *Z. Phys. A* 1981, 301(2), 95-9 (Eng). Nine transitions in Nd I, originating from various levels belonging to the  $4f^46s^2$  ground state configuration, were studied with high resoln. using an actively stabilized continuous-wave ring dye laser in a crossed laser-at.-beam set-up. Accurate values for the isotope shifts in all transitions as well as for the hyperfine structure consts. of 7 excited states were obtained.

C.A. 1981, 95, v12

$\text{Nd}^{+13}$

1981

Sugar J., et al.

E; g. Phys. Soc., 1981, 24,  
NY, 742-746.

(cen.  $\text{Ce}^{+11}; \text{II})$

Nd

1982

Carroll P.K., et al.

Ei.

Phys. Rev. A : Gen. Phys.,  
1982, 25, N1, 275-286.



(cees. Ba;  $\text{^{II}}$ )

Nd

10m. 16742/

1983

He;

Bratsev S. G.

Chem. Phys. Lett., 1983,  
98, N2, 113-117.

Nd (II)

or 27110

1984

100: 147824p Revised interpretation of the spectrum of singly-ionized neodymium(Nd II). Blaise, Jean; Wyart, Jean Francois; Djerad, Mohammed Tahar; Ahmed, Zeineb Ben (Lab. Aime Cotton, 91405 Orsay, Fr.). *Phys. Scr.* 1984, 29(2), 119-31 (Eng). Because of the confusion between 2 low odd levels  $1218 \text{ cm}^{-1}$  apart, the complete system of levels of Nd II built on the core  $f^3$  had to be revised with the help of the  $^{144}\text{Nd}-^{150}\text{Nd}$  isotope shift. The lowest odd level  $f^3d^{26}M_{10/2}$  is now at  $8009.810 \text{ cm}^{-1}$ , 96 levels were shifted and 126 new levels were found. The new identifications rely upon parametric studies of the sub-configurations  $4f^35d6s + 4f^3(^4I)5d^2 + 4f^4(^5I)6p$  (115 interpreted levels) and  $4f^3(^4I)5d6p + 4f^3(^4I)6s6p$  (124 interpreted levels).

CNLSMP,

Si;

C.A.1984, 100, N18

Nd

1983

98: 9757h Ionization spectra of neodymium and samarium by resonance ionization mass spectrometry. Young, J. P.; Donohue, D. I. (Anal. Chem. Div., Oak Ridge Natl. Lab., Oak Ridge, TN 37830 USA). *Anal. Chem.* 1983, 55(1), 88-91 (Eng). Ionization spectra of the elements Nd and Sm were obtained over the wavelength range of 423-463 nm by using the technique of resonance ionization mass spectrometry (RIMS). These studies were performed to det. the wavelengths at which ionization occurs under RIMS conditions. The obsd. wavelengths were correlated where possible with allowed transitions between known electronic energy levels. RIMS has previously been applied to the measurement of isotope ratios of these rare earth elements using a single wavelength of excitation of each element. The fact that there are a no. of effective wavelengths available should be of interest to other workers in the RIMS field.

UDHysals  
Chekmp

(4) R

Sm



C.A. 1983, 98, N2.

Nd

1984

Robles Juáencio, Bartolotti  
Libero J.

Ae, pacrem  
y, sleekmo-  
ompeyan.

J. Amer. Chem. Soc.,  
1984, 106, n13, 3723 -  
-3727.

● (Cw. Os; III)

*Nd (II)*

*1985*

- 102: 175590u Accurate experimental lifetimes of excited levels in neodymium(Nd II). Ward, I.; Vogel, O.; Arnesen, A.; Hallin, R.; Waennstroem, A. (Inst. Phys., Univ. Uppsala, S-751 21 Uppsala, Swed.). *Phys. Scr.* 1985, 31(3), 161-5 (Eng). Radiative lifetimes of 24 levels in Nd II were measured with a laser-ion beam technique using intracavity excitation. Of the lifetimes, 8 were measured with current normalization and 16 with an improved exptl. setup using fluorescence light normalization. Eleven of the levels were not measured previously. Several levels have a different lifetime than earlier reported. The measured lifetimes were used to correct old *gf*-values deduced from arc spectra. These new *gf*-values together with 17 equiv widths, obtained from high resoln. tracings of the solar disk center spectrum, were used in a solar photosphere abundance anal. which confirmed the old Nd abundance value.

*fam*

c.A.1985, 102, N20

Nd

1988

Зюзиков А.Д., Лепоков В.С.  
и др.,

спектрон.  
спектр Использование высокомаэнергетических  
и атомных изотопов  
составший ядром №1)  
 $\text{Sm}$ ,  $\text{Er}$ ,  $\text{Ho}$  и  $\text{Tm}$ .  
XX Всесоюзный срез по спектро-

Ekoreer, Koeb, 1988?

Пізні срібнокрасноваті, 105.

$\text{Nd}^{3+}$

1989

Garcia D., Faucher M.

J. Chim. Phys. et Phys.

Chim. Biol. 1989. 86,

NS.C. 961-965.

(ceee.  $\text{P}_2^{3+}$ ; iii)

n.n.

$Nd^{3+}$

1989

Moure O. K., Caro P.

расщепл.  
уровн.  
 $5D_j$ ,  
 $1988$  (Pub. 1989). 148,  
 $181-6.$

$^2H_{1/2}$ ,  $^3K_8$

(cel.  $Eu^{3+}$ ;  $\text{III}$ )

Nd

1992

(Ei)

116: 264765m New levels and calculations in the neodymium (Nd I) spectrum. Aussmuth, P.; Bernard, A.; Kopp, E. G. Inst. At.-Molekulphys., Univ. Hannover, W-3000 Hannover, 1 Germany. Z. Phys. D: At., Mol. Clusters 1992, 23(1), 15-18 (Eng.). The energies of all the levels of Nd I 4 f<sup>4</sup> 6s<sup>2</sup> ^3F and of ^3S<sub>1</sub> as well as of 4 f<sup>4</sup> 5d 6s<sup>2</sup> H<sub>2</sub> were detd. by means of laser-induced fluorescence in a hollow cathode. Their interpretation was carried out with the use of hyperfine structure data and a new parametric calcn. of (4f<sup>4</sup>6s<sup>2</sup>+4f<sup>4</sup>5d<sup>1</sup>). Furthermore, the energies and J values of 5 new odd levels were found.

C.A. 1992, 116, N26

*Nd*

*1992*

(*Ei*)

116: 264766n Hypersine structure in the configurations  $4f^46s1$  and  $4f^45d6s$  of neodymium ( $Nd\ 1$ ). Aufmuth, P.; Bernard, A., Deckwer, M.; Kopp, E. G.; Steudel, A. (Inst. At.-Molekulphysik, Univ. Hannover, W-3000 Hannover, 1 Germany). *Z. Phys. D: At. Mol. Clusters* 1992, 23(1), 19-28 (Eng). The high resolu laser-at.-beam technique was used to investigate the hypersine structure in  $Nd\ 1$   $4f^46s^2\ ^3I, ^3F, ^3S$  and  $4f^45d6s; ^3L, ^3K, ^3I, ^3H$ . The metastable states were populated by an arc discharge burning in the at. beam. The measured hypersine consts. A and B of the levels of  $4f^46s^2$  and  $4f^45d6s$  allow a parametric anal. to be performed using the effective tensor operator formalism. The exptl. radial integrals of the 4f and 5d electrons fit with those of the other lanthanides. The 4f radial integrals are in agreement with values of optimized Hartree-Fock-Slater calcns. The spectroscopic quadrupole moments of  $^{144}Nd$  and  $^{146}Nd$  are deduced from the 4f parameters:  $Q_1 = 0.610(21)$  b and  $-0.314(12)$  b, resp. The  $Q_1$  resulting from the 5d parameter are in satisfactory agreement with these values. The hypersine anomaly due to the s electron in  $4f^45d6s$  amts. to about 1%.

C.A. 1992, 116, N26

Nd

1994

121: 213469p On the atomic weight of neodymium. Chang  
Tsing Lien; Qiao, Guang Sheng; Liu, Wen Hua (Dep. Che., Peking  
Univ., Beijing, Peop. Rep. China 100871). *Chin. Chem. Lett.* 1994,  
5(5), 451-4 (Eng). A new isotopic-ratio measurement for mineral  
and chem. samples of neodymium was carried out with substitute  
calibration of the mass spectrometer yielding the precise value of the  
at. wt.,  $A_r(Nd) = 144.2450(4)$  on 1 SD basis.

Am. rec.  
= 144.2450

c.A.1994, 121, N18

1995

F: Nd+3

P: 3

13Б1221. Спектры электронного поглощения, силы оптических линий и структура энергетических уровней Nd{3+} в кристаллическом поле гексагонального [Nd(H[2]O)[9]](CF[3]SO[3])[3]. Electronic absorption spectra, optical line strengths, and crystal-field energy-level structure of Nd{3+} in hexagonal [Nd(H[2]O)[9]](CF[3]SO[3])[3] / Quagliano John R., Burdick Gary W., Glover-Fischer Deborah P., Richardson F. S. // Chem. Phys. - 1995. - 201, N 2 - 3. - С. 321-342. - Англ.

• 1397 19АБ1-13

1996

F: Nd(+3)

P: 3

7Б136. Релятивистское кристаллическое поле для ионов Nd{3+}, Er{3+} и U{3+ } (конфигурации f{3}, f{11}) в октаэдрических комплексах / Душин Р.  
Б., Некорошков С. Н. // Радиохимия. - 1996. - 38, N 3. - С. 210-217. - Рус.

Проведен релятивистский расчет параметров крист. поля октаэдрических комплексов NdCl[6]{3-} и ErCl[6]{3- } и сравнительный анализ первых результатов релятивистской параметризации для части лантаноидной серии (параметры крист. поля TmCl[6]{3- } опубликованы в //ФТГ.-1995.-37.-с. 1631). Показано, что изменение релятивистских параметров носит предсказуемый характер. Учет релятивистских эффектов наиболее существен для конца лантаноидной серии. Проведен предварительный расчет расщеплений электронных уровней комплекса UCl[6]{3-}, эксперим. данные для которого в настоящее время не получены.

РНХ 1997

1996

F: Nd(+3)

P: 3

6Б1251. Поглощение и эффект Зеемана в LiYF<sub>4</sub>, легированном Nd{3+}. Измерения и моделирование. Absorption and Zeeman effect in Nd{3+}-doped LiYF<sub>4</sub>: Measurements and simulation / Couto dos Santos M. A., Porcher P., Krupa J. C., Gesland J. Y. // J. Phys.: Condens. Matter. - 1996. - 8, N 25. - С. 4643-4659. - Англ.

С помощью спектроскопии поглощения исследована энергетич. структура иона Nd{3+} в монокрист. LiYF<sub>4</sub>. Для интерпретации эксперим. спектров использованы 137 уровней в приближении точечной симметрии редкоземельного катиона D[2d](S[4]). Наложение магнитного поля приводит к проявлению расщепленных компонент уровней в спектре, что при расчетах учтено введением магнитного гамильтониана. Вычислены 364 собственных состояния и функции при хорошем воспроизведении эксперим. данных.

Phys 1997

Nd(II)

1998

129: 348619y Optical isotope shifts and configuration mixing at the level  $(26772)_{11/2}^0$  in Nd II. Ma, Hong-liang; Wei, Shi; Miao-hua, Chen; Zhi-jun, Chen; Du-fei, Fang; Lu, Fu-quan; Fu-jia, Yang (Accelerator-Based Atomic and Nuclear Physics Laboratory, Institute of Modern Physics, Fudan University, Shanghai, Peop. Rep. China 200433). *Acta Phys. Sin. (Overseas Ed.)* 1998, 7(8), 572–575 (Eng), Chinese Physical Society. Optical isotope shifts in the transition  $4f^45d\ ^6I_{11/2}(26772)_{11/2}^0$  of Nd II were measured by using collinear fast-ion-beam laser spectroscopy. The configuration admixts. of the previously unclassified  $(26772)_{11/2}^0$  level were quant. analyzed to be  $4f^46p$ ,  $4f^35d^2$ , and  $4f^35d6s$  with mixing probabilities of 13%, 85%, 2%, resp.

C.A. 1998, 129, N26

Nd

Yagi, Shuichi; et al.<sup>2001</sup>

nonunif.  
ceramic  
matrix

J. Phys. Soc. Jpn.  
2001, 70(9), 2859-67

(all. Fe<sub>3</sub>II)